

การหาค่าพารามิเตอร์ของตัวควบคุมแบบสัดส่วนบวกอินทิกรัลแบบอัตโนมัติด้วยขั้นตอนวิธีเชิงพันธุกรรมสำหรับระบบการขับเคลื่อนมอเตอร์ซิงโครนัสชิดแม่เหล็กด้วย Automated Genetic Algorithm Based Proportional plus Integral Controller Parameters for Permanent Magnet Synchronous Motor Drive System

ปกรณ์ โชคดิยานนท์¹ วันจักรี เล่นวารี² และ มงคล กวงศ์หรรษ์^{1*}

¹ภาควิชาวิศวกรรมไฟฟ้า คณะวิศวกรรมศาสตร์ มหาวิทยาลัยเทคโนโลยีพระจอมเกล้าธนบุรี กรุงเทพฯ 10140

²ภาควิชาวิศวกรรมระบบควบคุมและเครื่องมือวัด คณะวิศวกรรมศาสตร์ มหาวิทยาลัยเทคโนโลยีพระจอมเกล้าธนบุรี กรุงเทพฯ 10140

บทคัดย่อ

ตัวควบคุมแบบสัดส่วนบวกอินทิกรัล (PI Controller) เป็นตัวควบคุมที่ถูกใช้งานอย่างแพร่หลายในระบบควบคุมมอเตอร์ซิงโครนัสชนิดแม่เหล็กด้วย เนื่องจากโครงสร้างของตัวควบคุมที่ไม่ซับซ้อน ในขณะที่สามารถให้ค่าความผิดพลาดที่สถานะอยู่ตัวเป็นคูณยได้ แต่อย่างไรก็ตาม การหาพารามิเตอร์ของตัวควบคุมที่เหมาะสมที่สุดนั้น เป็นไปไม่ใช่งานที่ง่าย จากเหตุผลดังกล่าวงานวิจัยนี้จึงเสนอการหาค่าที่เหมาะสมที่สุดโดยอัตโนมัติของ PI Controller สำหรับระบบการขับเคลื่อนมอเตอร์ซิงโครนัสชิดแม่เหล็กด้วย (Permanent Magnet Synchronous Motor: PMSM) โดยใช้ขั้นตอนวิธีเชิงพันธุกรรม (Genetic Algorithm: GA) ซึ่งแสดงผลจำลองและผลทดลองเพื่อพิสูจน์ประสิทธิภาพที่ดีกว่าวิธีแบบลองผิดลองถูก

คำสำคัญ: ขั้นตอนวิธีเชิงพันธุกรรม มอเตอร์ซิงโครนัสชิดแม่เหล็กด้วย ตัวควบคุมแบบสัดส่วนบวกอินทิกรัล

Abstract

Proportional plus integral controller has been widely used in permanent magnet synchronous motor (PMSM) drive system due to its simple structure while achieving zero steady-state error. However, finding out the optimal parameters of the controller is not an easy task. For this reason, this paper presents an automated optimization of proportional plus integral controller for permanent magnet synchronous motor drive system using genetic algorithms. Simulation and experimental results verify the effectiveness than ones of the trial and error method

Keywords: Genetic Algorithm; Permanent Magnet Synchronous Motor; Proportional Plus Integral Controller

* ผู้รับผิดชอบงานวิจัย อิเล็กทรอนิกส์ mongkol.kon@kmutt.ac.th โทร. 0 2470 9042

1. บทนำ

แนวโน้มการใช้พลังงานไฟฟ้ามีอัตราที่เพิ่มสูงขึ้น กองประกบแหล่งกำเนิดพลังงานหลักอาจจะไม่ได้เพิ่มสูงขึ้นในอัตราที่พอเพียง ส่งผลให้การออกแบบผลิตภัณฑ์ที่เกี่ยวข้องกับมอเตอร์นั้นให้ความสำคัญกับเรื่องของการประทัยด้พลังงาน การรักษางานลื่นไหล และประสิทธิภาพมากยิ่งขึ้น ด้วยเหตุนี้ มอเตอร์ซิงโครนัสชนิดแม่เหล็กถาวร (PMSM) จึงถูกนำมาใช้งานอย่างแพร่หลายมากขึ้น ทั้งในโรงงานอุตสาหกรรมและอุปกรณ์เครื่องใช้ภายในบ้าน อาทิเช่น เครื่องปรับอากาศ ตู้เย็น และเครื่องซักผ้า เนื่องจาก PMSM มีขนาดที่กะทัดรัด มีอัตราส่วนระหว่างแรงบิดต่อความเฉื่อยสูง อีกทั้ง มีช่วงความเร็วรอบในการทำงานที่กว้าง มีความหนาแน่นกำลังและประสิทธิภาพที่สูง

PMSM แบ่งออกเป็น 2 ประเภท คือ มอเตอร์ซิงโครนัสชนิดแม่เหล็กถาวรที่ผิว (SPMSM) และมอเตอร์ซิงโครนัสชนิดแม่เหล็กถาวรภายใน (IPMSM) สำหรับ SPMSM มีลักษณะโครงสร้างเป็นแม่เหล็กติดที่รอบ ๆ โรเตอร์ (Rotor) ส่งผลให้ความเหนี่ยวนำขดลวดสเตเตอเรกน d (L_d) มีค่าเท่ากับความเหนี่ยวนำขดลวดสเตเตอเรกน q (L_q) เป็นผลให้่ายต่อการควบคุมมอเตอร์ ในขณะที่ IPMSM มีลักษณะเป็นแม่เหล็กผงอยู่ภายในโรเตอร์ ส่งผลให้ค่า L_d มีค่ามากกว่า L_q เป็นผลให้ IPMSM มีแรงบิดเพิ่มขึ้น (Rashid, 2001)

จากข้อดีของ PMSM ทั้งสองชนิด ส่งผลให้แนวโน้มงานวิจัยด้านมอเตอร์ในปัจจุบัน ให้ความสนใจ PMSM มากขึ้น อาทิเช่น งานวิจัยเกี่ยวกับรถไฟฟ้า (Rolling stock) และงานวิจัยเกี่ยวกับยานยนต์ไฟฟ้า (Electric vehicle) เป็นต้น ซึ่งงานวิจัยเหล่านี้ ต้องการสมรรถนะของระบบ

ขับเคลื่อนมอเตอร์ที่สูง ด้วยเหตุนี้ จึงมีงานวิจัยที่เน้นการปรับปรุงด้วยควบคุมความเร็วรอบมอเตอร์ซิงโครนัสชนิดแม่เหล็กถาวรในการควบคุมเวกเตอร์ ด้วยวิธีต่าง ๆ เช่น ด้วยควบคุมตรรกศาสตร์คลุมเครือ (Fuzzy logic) (Uddin, 2011) (Rebeiro, 2012) แต่อย่างไรก็ตาม ด้วยควบคุมดังกล่าวมีความซับซ้อน และใช้เวลาในการคำนวณที่มาก ด้วยเหตุนี้ด้วยควบคุมแบบลัดส่วนวงกวินทิกัล (PI) จึงเป็นด้วยควบคุมที่นิยมใช้ในเชิงพาณิชย์อย่างแพร่หลาย เนื่องจากโครงสร้างที่ไม่ซับซ้อน โดยการหาค่าพารามิเตอร์ของด้วยควบคุมแบบ PI นั้น ทำได้โดยการสุ่มค่าพารามิเตอร์ และสังเกตผลการตอบสนองของระบบ เรียกวิธีดังกล่าวว่า วิธีการแบบลองผิดลองถูก (Trial and error method: TE) แต่อย่างไรก็ตาม การหาค่าพารามิเตอร์ที่เหมาะสมที่สุดของด้วยควบคุมด้วยวิธีแบบลองผิดลองถูกนั้น จำเป็นต้องอาศัยความชำนาญของผู้ปฏิบัติงานและเวลาในการปรับแต่งค่อนข้างมาก อีกทั้งวิธีแบบลองผิดลองถูกนั้นไม่สามารถยืนยันค่าที่เหมาะสมที่สุดของพารามิเตอร์ด้วยควบคุมได้ ด้วยเหตุนี้ จึงมีงานวิจัยเกี่ยวกับวิธีการหาค่าพารามิเตอร์ด้วยควบคุมแบบ PI ในแบบต่าง ๆ โดยวิธีที่ง่ายและได้รับความนิยมในอุตสาหกรรมค่อนข้างมาก คือ วิธี Ziegler-Nichols (Meshram, 2012) แต่อย่างไรก็ตาม วิธีดังกล่าวขึ้นอยู่กับการปรับค่า P เพียงอย่างเดียว ซึ่งยากต่อการหาค่าพารามิเตอร์จากผลการตอบสนองแบบทันทีทันใด (Step response) เมื่อลัญญาณเกิดการรบกวนจากการวัด อีกทั้งวิธีดังกล่าวไม่สามารถยืนยันค่า P ที่เหมาะสมที่สุดได้

จากปัญหาดังกล่าว งานวิจัยนี้จึงเสนอขั้นตอนวิธีเชิงพันธุกรรม (Genetic algorithm: GA) เพื่อหาค่าที่เหมาะสมที่สุดของพารามิเตอร์

ตัวควบคุมแบบ PI สำหรับการขับเคลื่อน PMSM โดยวิธีที่นำเสนอนี้สามารถลดความยุ่งยากและเวลาในการปรับแต่งค่าพารามิเตอร์ของตัวควบคุมแบบ PI ได้ เนื่องจากเป็นระบบการหาค่าพารามิเตอร์ตัวควบคุมแบบอัตโนมัติ ซึ่งมีการทำงานเป็นขั้นตอน อีกทั้งยังสามารถยืนยันค่าพารามิเตอร์ที่เหมาะสมที่สุด ได้ด้วยประเมินแบบอินทิกรัลของค่าความผิดพลาด สมบูรณ์ (Integral of absolute error: IAE) โดยมีผลการจำลองและผลการทดลองพิสูจน์วิธีที่นำเสนอเทียบกับวิธีแบบ TE

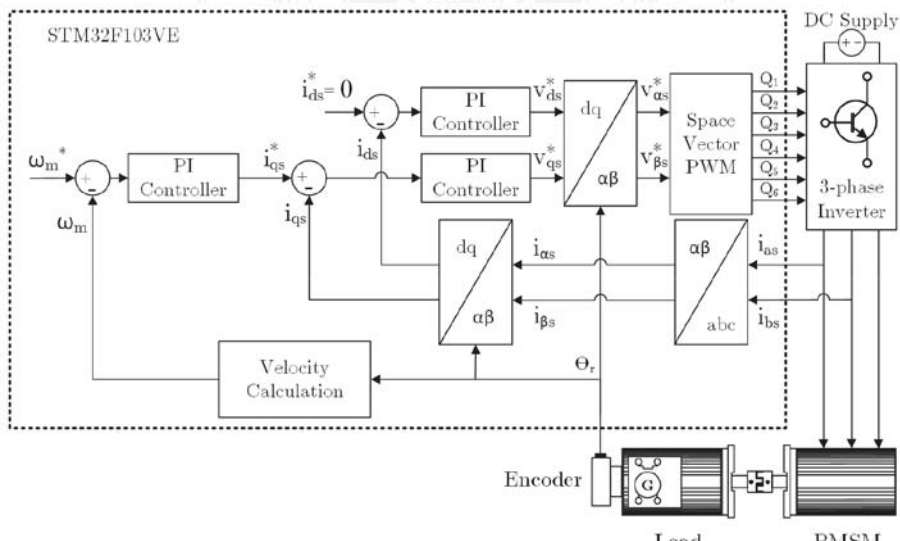
2. วิธีการศึกษา

2.1 อุปกรณ์

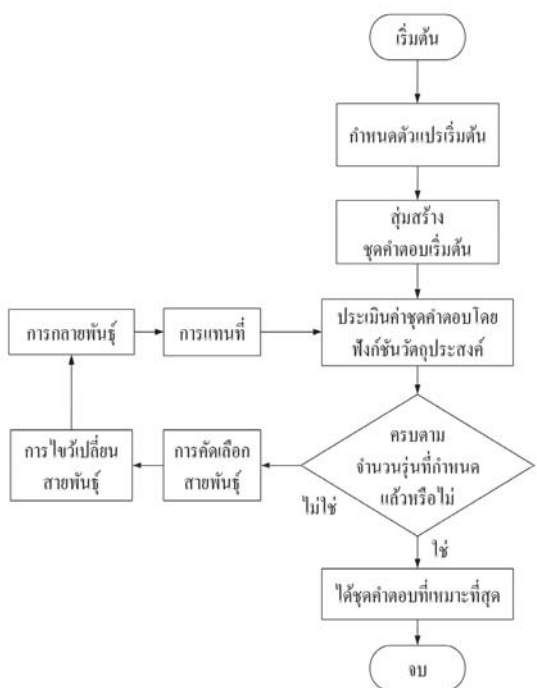
กระบวนการทำงานของวิธีที่นำเสนอ ประกอบไปด้วยสองส่วน คือ ส่วนของระบบขับเคลื่อน PMSM และส่วนของ GA (Chottiyanon, 2014)

1. ระบบขับเคลื่อน PMSM ประกอบด้วย ส่วนของวงจรกำลังไฟฟ้า ส่วนของมอเตอร์และชุดโหลด และส่วนของระบบควบคุม ซึ่งใช้วิธีควบคุมแบบเวกเตอร์ (Vector Control) ที่ประกอบด้วยตัวควบคุมจำนวน 2 ลูกการทำงาน คือ ลูปควบคุมกระแสไฟฟ้าและความเร็วดังแสดงในรูปที่ 1

2. GA คือ กระบวนการค้นหาคำตอบที่เหมาะสมที่สุด ซึ่งอาศัยหลักการคัดเลือกตามธรรมชาติ (Natural selection) โดยถูกพัฒนาขึ้นจากการจำลองแนวคิดของหลักการวิวัฒนาการทางชีววิทยา และการคัดเลือกตามธรรมชาติ (Michalewicz, 1996) (Haupt, 2004) โดยลิงมีชีวิตที่มีสายพันธุ์ที่ดีกว่า มีโอกาสที่จะอยู่รอดและสืบทายพันธุ์ต่อไป ซึ่งงานวิจัยนี้อาศัยทฤษฎีดังกล่าวมาประยุกต์ โดยมีผังงานของกระบวนการทำงานดังแสดงในรูปที่ 2



รูปที่ 1 แผนภาพโครงสร้างการทำงานโดยรวมของการขับเคลื่อน PMSM



กระบวนการหาค่าตอบที่เหมาะสมที่สุดของ GA ในงานวิจัยนี้ทำงานร่วมกับแบบจำลองระบบขั้นเคี้ยว PMSM บนโปรแกรม MATLAB โดยรูปที่ 3 แสดงแผนผังการทำงานของขั้นตอนวิธี เชิงพันธุกรรมซึ่งใช้เวลาในการจำลองแต่ละชุดคำตอบทั้งหมด 10 วินาที และในงานวิจัยนี้ใช้วิธีอินทิกรัลของค่าความผิดพลาดสมบูรณ์ (Integral of Absolute Error: IAE) เป็นฟังก์ชันวัดถูประสาท ดังสมการที่ (1) เพื่อประเมินค่าความผิดพลาดของความเร็วรอบและกระแสไฟฟ้าของมอเตอร์ในแต่ละชุดคำตอบ โดยให้ความสำคัญทั้งการควบคุมความเร็วรอบและกระแสไฟฟ้าไปพร้อมกัน

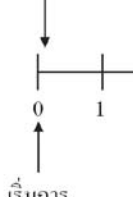
$$IAE = \int_0^t (|e(t)|_{\text{speed}} + |e(t)|_{\text{current}}) dt \quad (1)$$

รูปที่ 2 ผังงานการทำงานของขั้นตอนวิธีเชิงพันธุกรรม

เริ่มดำเนินผลฟังก์ชัน

กำหนด
ค่าความเหมาะสมที่

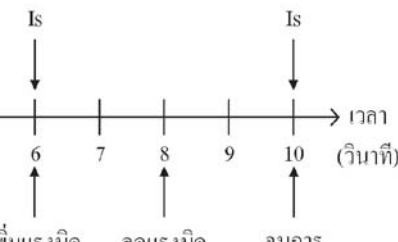
เวลา 0.15 วินาที



จั่วลง ความเร็ว ความเร็ว
มอเตอร์คง คง เก็บเร่งบิด
มอเตอร์ขึ้น 0.1 N.m 0.3 N.m
ไปที่ 0.3 N.m

ตรวจสอบ

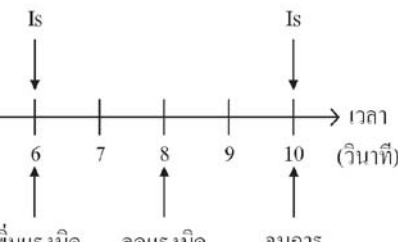
I_s



0.1 N.m 0.3 N.m
ไปที่ 0.1 N.m

ตรวจสอบ

I_s



0.3 N.m 0.1 N.m
ไปที่ 0.1 N.m

รูปที่ 3 แผนภาพเวลาการการทำงานของขั้นตอนวิธีเชิงพันธุกรรมในแต่ละชุดคำตอบ

นอกจากนี้ เพื่อเพิ่มประสิทธิภาพในกระบวนการ การหาค่าตอบที่เหมาะสมที่สุด จึงได้ทำการวัดกระแส สเตเตอร์ (I_s) ณ สองช่วงเวลาในแต่ละชุดค่าตอบ โดยวัด ณ เวลาที่เพิ่มแรงบิดโหลดและเวลาจับการ จำลอง โดยนำค่ากระแสไฟฟ้าสเตเตอร์ไปเปรียบ เทียบกับค่ากระแสไฟฟ้าสเตเตอร์สูงสุด (กระแสไฟฟ้าพิกัด) หากกระแสสเตเตอร์สูงกว่ากระแส สเตเตอร์สูงสุด ให้พิจารณาชุดค่าตอบนั้นเป็นชุด ค่าตอบที่ไม่ดี ซึ่งทำให้ได้มา จำนวนขั้วแม่เหล็ก (pole) 8 ความถี่พิกัด (Hz) 200 ความเร็วของพิกัด (rpm) 3,000 ความเนื้อของมอเตอร์ (g.cm²) 42 ความเหนี่ยวนำชุดลวดสเตเตอร์ (mH) 1.17 พลังช์คล้องของแม่เหล็กตัวร (V.s) 0.0083 ความต้านทานสเตเตอร์ (Ω) 0.79 ค่าคงที่แรงบิด (N.m/A) 0.071

ตารางที่ 1 พารามิเตอร์ของ PMSM

| | |
|--|--------|
| กำลังพิกัด (W) | 100 |
| แรงบิดพิกัด (N.m) | 0.318 |
| แรงดันพิกัด (V) | 24 |
| กระแสไฟฟ้าพิกัด (A) | 5 |
| ความถี่พิกัด (Hz) | 200 |
| ความเร็วของพิกัด (rpm) | 3,000 |
| จำนวนขั้วแม่เหล็ก (pole) | 8 |
| ความเนื้อของมอเตอร์ (g.cm ²) | 42 |
| ความเหนี่ยวนำชุดลวดสเตเตอร์ (mH) | 1.17 |
| พลังช์คล้องของแม่เหล็กตัวร (V.s) | 0.0083 |
| ความต้านทานสเตเตอร์ (Ω) | 0.79 |
| ค่าคงที่แรงบิด (N.m/A) | 0.071 |

- ค่าความห่างของรุ่น (Generation gap) คือ ค่าดัชนีที่ใช้บอกปริมาณการคัดเลือกชุดค่าตอบ ของขั้นตอนการคัดเลือกสายพันธุ์ ซึ่งค่าความห่างของรุ่นในโปรแกรมนี้ มีค่าระหว่าง 0-1 โดย 1 หมายถึง การคัดเลือกชุดค่าตอบมา 100% ซึ่งการกำหนดค่าความห่างของรุ่น ต้องคำนึงถึงความเหมาะสมของค่า โดยหากมีค่ามากเกินไป จะส่งผลให้การหาค่าตอบเกิดความล่าช้า และหากค่าที่กำหนดมีค่าน้อยเกินไป ชุดค่าตอบที่ได้ อาจไม่ใช่ชุดค่าตอบที่เหมาะสมที่สุด
- ค่าอัตราการไขว้เปลี่ยนพันธุ์ (Crossover rate) คือ ค่าดัชนีที่บอกจำนวนการแลกเปลี่ยนค่าของตัวแปรระหว่างชุดค่าตอบ 2 ชุด ในขั้นตอนการไขว้เปลี่ยนสายพันธุ์ ซึ่งในโปรแกรมนี้ มีค่าระหว่าง 0-1 โดย 1 หมายถึง การแลกเปลี่ยนค่าของตัวแปรทุกตัว การกำหนดค่าอัตราการไขว้เปลี่ยนพันธุ์นั้น จะส่งผลต่อความหลากหลายของค่าตัวแปร และกระบวนการหาค่าตอบที่เหมาะสมที่สุด

3. พลการศึกษาและอภิประพ

ผลการวิจัยประกอบด้วย 2 ส่วน คือ ผลการจำลองและผลการทดลองของกระบวนการค่าพารามิเตอร์ที่เหมาะสมที่สุดของตัว PI controller โดย GA สำหรับการขับเคลื่อน PMSM ซึ่งผลการจำลองและผลการทดลองของวิธีที่นำเสนอนอกไปเปรียบเทียบกับผลของวิธีแบบ TE โดยมีรายละเอียด ดังต่อไปนี้

3.1 พลการจำลอง

เพื่อพิสูจน์แนวคิดที่นำเสนอ จึงได้ทำการหาค่าพารามิเตอร์ของตัวควบคุมความเร็วรอบและกระแสไฟฟ้าแบบ PI ที่เหมาะสมที่สุดสำหรับระบบขับเคลื่อน PMSM โดย GA บนโปรแกรม MATLAB ซึ่งพารามิเตอร์ของ PMSM ที่ใช้ในแบบจำลองระบบขับเคลื่อนแสดงดังตารางที่ 1 และแนวทางการออกแบบค่าพารามิเตอร์ของ GA ดังแสดงในตารางที่ 2 สามารถอธิบายรายละเอียดได้ ดังต่อไปนี้

- ค่าอัตราการกลายพันธุ์ (Mutation rate) คือค่าดัชนีบ่งบอกจำนวนการเปลี่ยนค่าของตัวแปรภายในชุดคำตอบของตัวมันเองในขั้นตอนการกลายพันธุ์ ซึ่งในโปรแกรมนี้มีค่าระหว่าง 0-1 โดย 1 หมายถึง การเปลี่ยนค่าของตัวแปรทุกด้วยในชุดคำตอบนั้น ๆ การกำหนดค่าอัตราการกลายพันธุ์ มีลักษณะเช่นเดียวกับการกำหนดค่าอัตราการไขว้เปลี่ยนพันธุ์
- ช่วงของค่าพารามิเตอร์ในตัวควบคุมแบบ PI คือ ช่วงของการสุ่มค่าของตัวแปรในชุดคำตอบ โดยการกำหนดช่วงต้องคำนึงถึงค่าแบนด์วิดท์ (Bandwidth) ของลูปนั้น ๆ ด้วย เพื่อป้องกันให้ระบบเกิดความไม่เสถียร (Unstable) แต่อ่อน弱 ตาม วิธีที่ละเอียดที่สุด คือ การทดสอบปรับค่าพารามิเตอร์โดยการสุ่มค่าก่อน เพื่อค้นหาช่วงที่ระบบสามารถทำงานได้โดยไม่เกิดความไม่เสถียร และนำมากำหนดเป็นช่วงของค่าพารามิเตอร์ในตัวควบคุม

ตารางที่ 2 ค่าพารามิเตอร์ของขั้นตอนวิธีเชิงพันธุกรรมที่ใช้ในการทดลอง

| | | | | | |
|--|--|------------------|-------|------------------|--------|
| จำนวนรุ่น (Generation) | 80 | | | | |
| จำนวนประชากร (Population) | 150 | | | | |
| ความห่างของรุ่น (Generation gap) | 0.9 | | | | |
| อัตราการไขว้เปลี่ยนพันธุ์ (Crossover rate) | 0.7 | | | | |
| อัตราการกลายพันธุ์ (Mutation rate) | 0.5 | | | | |
| ช่วงของค่าพารามิเตอร์ใน การหาค่าที่เหมาะสมที่สุดของตัวควบคุมความเร็ว robust แบบ PI | <table border="1"> <tr> <td>K_{p_speed}</td> <td>0-100</td> </tr> <tr> <td>K_{i_speed}</td> <td>0-1000</td> </tr> </table> | K_{p_speed} | 0-100 | K_{i_speed} | 0-1000 |
| K_{p_speed} | 0-100 | | | | |
| K_{i_speed} | 0-1000 | | | | |
| ช่วงของค่าพารามิเตอร์ใน การหาค่าที่เหมาะสมที่สุดของตัวควบคุมกระแสไฟฟ้าแบบ PI | <table border="1"> <tr> <td>$K_{p_current}$</td> <td>0-100</td> </tr> <tr> <td>$K_{i_current}$</td> <td>0-1000</td> </tr> </table> | $K_{p_current}$ | 0-100 | $K_{i_current}$ | 0-1000 |
| $K_{p_current}$ | 0-100 | | | | |
| $K_{i_current}$ | 0-1000 | | | | |

โดยในหัวข้อถัดไปจะแบ่งผลการจำลองการทำงานออกเป็น 2 ส่วน คือ ผลการจำลองการตอบสนองของความเร็ว robust ของมีการเปลี่ยนแปลงความเร็ว robust และโหลดแรงบิดเบรียบเทียบระหว่างวิธีที่นำเสนอกับวิธีแบบ TE ที่ช่วงความเร็ว robust ต่ำและช่วงความเร็ว robust สูง โดยมีรายละเอียด ดังต่อไปนี้

3.1.1 ผลการจำลองที่ช่วงความเร็ว robust ต่ำ

การหาค่าพารามิเตอร์ที่เหมาะสมที่สุดของตัวควบคุมแบบ PI โดย GA เพื่อขับเคลื่อน PMSM ที่ช่วงความเร็ว robust ต่ำ ประกอบด้วยการจำลองสองช่วงสถานการณ์ คือ ช่วงเปลี่ยนแปลงความเร็ว robust และช่วงเปลี่ยนแปลงโหลดแรงบิด

โดยช่วงเปลี่ยนแปลงความเร็ว robust ทำการปรับความเร็ว robust อ้างอิงของ PMSM ลง จากความเร็ว robust 600 rpm เป็น 300 rpm ณ วินาทีที่ 2 และปรับความเร็ว robust กลับมาที่ 600 rpm ณ วินาทีที่ 4 ในขณะที่โหลดแรงบิดมีค่าคงที่ที่ 0.1 N.m หลังจากนั้นในช่วงเปลี่ยนแปลงโหลดแรงบิดทำการปรับโหลดแรงบิดเพิ่มขึ้นจาก 0.1 N.m ไปที่ 0.3 N.m วินาทีที่ 6 และปรับลดลงมาที่ 0.1 N.m ตามเดิม ณ วินาทีที่ 8 ในขณะที่ยังคงค่าความเร็ว robust ของ PMSM ไว้ที่ 600 rpm

หลังจากโปรแกรมทำการหาค่าชุดคำตอบที่เหมาะสมที่สุดแต่ละรุ่นเสร็จสิ้น โปรแกรมจะเลือกชุดคำตอบที่ให้ค่า IAE น้อยที่สุดรุ่นละ 1 ชุด ดังแสดงในรูปที่ 4 และเมื่อจบกระบวนการหาค่าที่เหมาะสมที่สุด ระบบจะได้ชุดคำตอบที่เหมาะสมที่สุดสำหรับในการขับเคลื่อน PMSM ซึ่งมีค่าดังตารางที่ 3

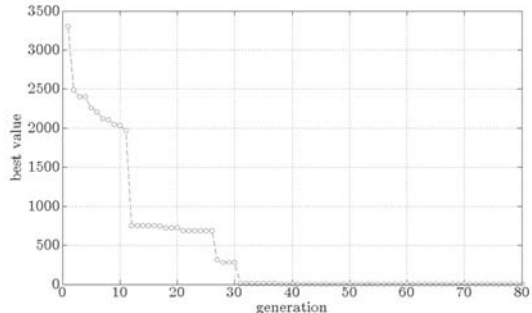
เมื่อได้ชุดคำตอบที่เหมาะสมที่สุดสำหรับในการขับเคลื่อน PMSM และ นำค่าพารามิเตอร์ที่ได้มา

ใส่ในแบบจำลองระบบขับเคลื่อน PMSM และนำผลการจำลองไปเปรียบเทียบกับวิธีแบบ TE ซึ่งแสดงผลโดยทำการขยายรูปในช่วงที่มีการปรับความเร็ว robust และลดแรงบิด ดังแสดงในรูปที่ 5 และรูปที่ 6 ตามลำดับ

3.1.2 ผลการจำลองที่ช่วงความเร็ว robust สูง

ผลการจำลองที่ช่วงความเร็ว robust สูง ที่ช่วงเปลี่ยนแปลงความเร็ว robust ทำการปรับความเร็ว robust อ้างอิงของ PMSM ลง จากความเร็ว robust 2,700 rpm เป็น 2,400 rpm ณ วินาทีที่ 2 และปรับความเร็ว robust กันมาที่ 2,700 rpm ณ วินาทีที่ 4 ในขณะที่โหลดแรงบิดมีค่าคงที่ที่ 0.1 N.m หลังจากนั้นในช่วงเปลี่ยนแปลงโหลดแรงบิด ทำการปรับโหลดแรงบิดเพิ่มขึ้นจาก 0.1 N.m ไปที่ 0.3 N.m ณ วินาทีที่ 6 และปรับลดลงมาที่ 0.1 N.m ตามเดิม ณ วินาทีที่ 8 ในขณะที่ยังคงค่าความเร็ว robust ของ PMSM ไว้ที่ 2,700 rpm

เมื่อจับกระบวนการหาค่าที่เหมาะสมที่สุดโปรแกรมจะเลือกชุดค่าตอบที่ให้ค่า IAE น้อยที่สุดรุ่นละ 1 ชุด ดังแสดงในรูปที่ 7 และระบบจะได้ชุดค่าตอบที่เหมาะสมที่สุดสำหรับในการขับเคลื่อน PMSM ซึ่งมีค่าแสดงดังแสดงในตารางที่ 4 นำค่าพารามิเตอร์ป้อนเข้าไปในแบบจำลองระบบขับเคลื่อน PMSM และเปรียบเทียบผลกับวิธีแบบ TE ดังแสดงในรูปที่ 8 และรูปที่ 9



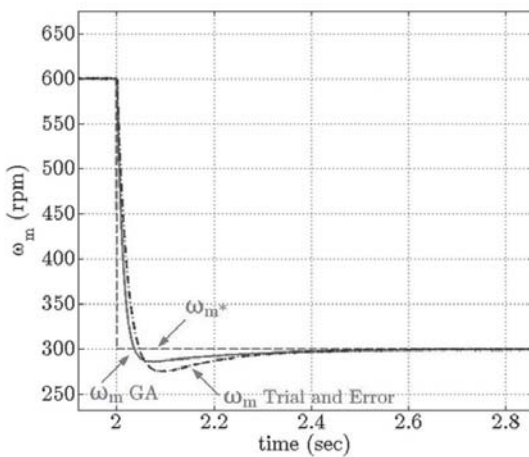
รูปที่ 4 ค่าความผิดพลาดที่น้อยที่สุดในแต่ละรุ่นที่ช่วงความเร็ว robust สูง

ตารางที่ 3 ค่าพารามิเตอร์ของ PI controller ที่ช่วงความเร็ว robust ต่ำ

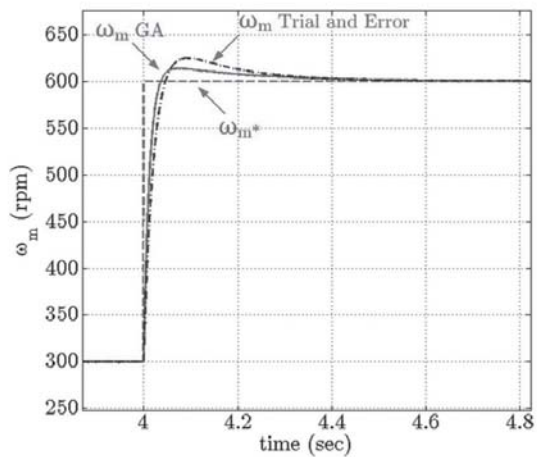
| | GA method | TE method |
|------------------|-----------|-----------|
| K_{p_speed} | 54.2131 | 35 |
| K_{i_speed} | 5.1787 | 6.6667 |
| $K_{p_current}$ | 1.8213 | 0.9 |
| $K_{i_current}$ | 769.23 | 980 |

ตารางที่ 4 ค่าพารามิเตอร์ของ PI controller ที่ช่วงความเร็ว robust สูง

| | GA method | TE method |
|------------------|-----------|-----------|
| K_{p_speed} | 36.1213 | 20 |
| K_{i_speed} | 6.7204 | 10 |
| $K_{p_current}$ | 1.1764 | 2 |
| $K_{i_current}$ | 899.556 | 945.321 |

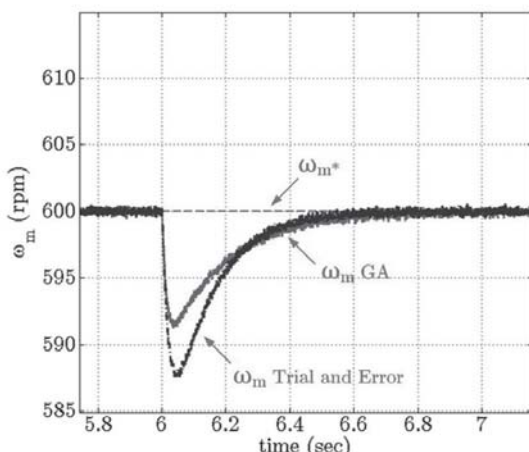


(ก)

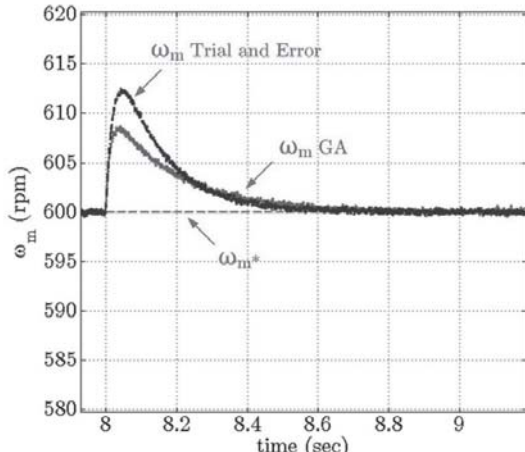


(ย)

รูปที่ 5 รูปขยายผลการจำลองการตอบสนองของความเร็วรอบมอเตอร์เมื่อมีการเปลี่ยนแปลงความเร็วรอบเบรียบเทียบระหว่างวิธีที่นำเสนอกับวิธีแบบ TE ที่ช่วงความเร็วรอบต่ำ (ก) เมื่อมีการปรับลดความเร็วรอบลง ณ วินาทีที่ 2 (ย) เมื่อมีการปรับเพิ่มความเร็วรอบขึ้น ณ วินาทีที่ 4

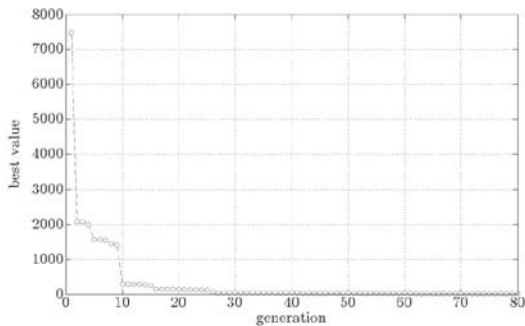


(ก)



(ข)

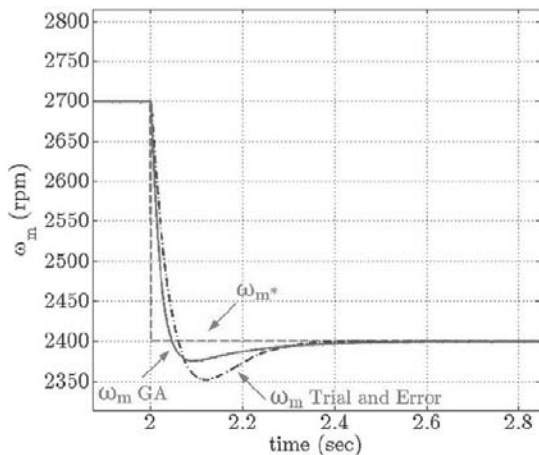
รูปที่ 6 รูปขยายผลการจำลองการตอบสนองของความเร็วรอบมอเตอร์เมื่อมีการเปลี่ยนแปลงโหลดแรงบิดเบรียบเทียบระหว่างวิธีที่นำเสนอกับวิธีแบบ TE ที่ช่วงความเร็วรอบต่ำ (ก) เมื่อมีการปรับเพิ่มโหลดแรงบิดขึ้น ณ วินาทีที่ 6 (ข) เมื่อมีการปรับลดโหลดแรงบิดลง ณ วินาทีที่ 8



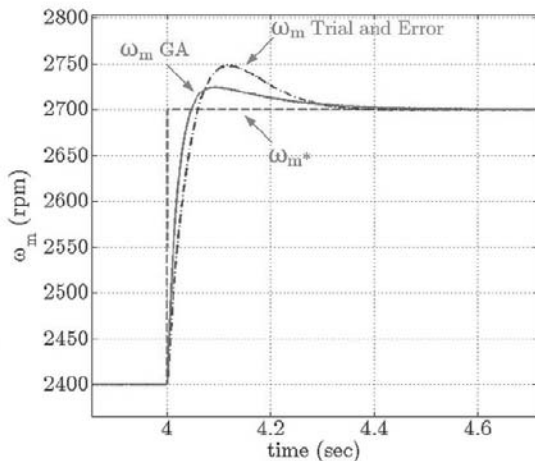
รูปที่ 7 ค่าความผิดพลาดที่น้อยที่สุดในแต่ละรุ่นที่ช่วงความเร็ว robust ลูกค้า

3.2 ผลการทดลอง

เพื่อเป็นการยืนยันผลจากการจำลองการหาค่าพารามิเตอร์ที่เหมาะสมที่สุดของ PI controller โดย GA สำหรับการขับเคลื่อน PMSM จึงได้ทำการออกแบบชุดทดลองขึ้น ซึ่งแบ่งออกเป็น 2 ส่วน คือ ผลการทดลองการตออบสนองของความเร็ว robust ของมอเตอร์เมื่อมีการเปลี่ยนแปลงความเร็ว robust และโหลดแรงบิดเบรียบเทียบระหว่างวิธีที่นำเสนอ กับวิธีแบบ TE ที่ช่วงความเร็ว robust ต่ำและช่วงความเร็ว robust สูง โดยมีรายละเอียด ดังต่อไปนี้

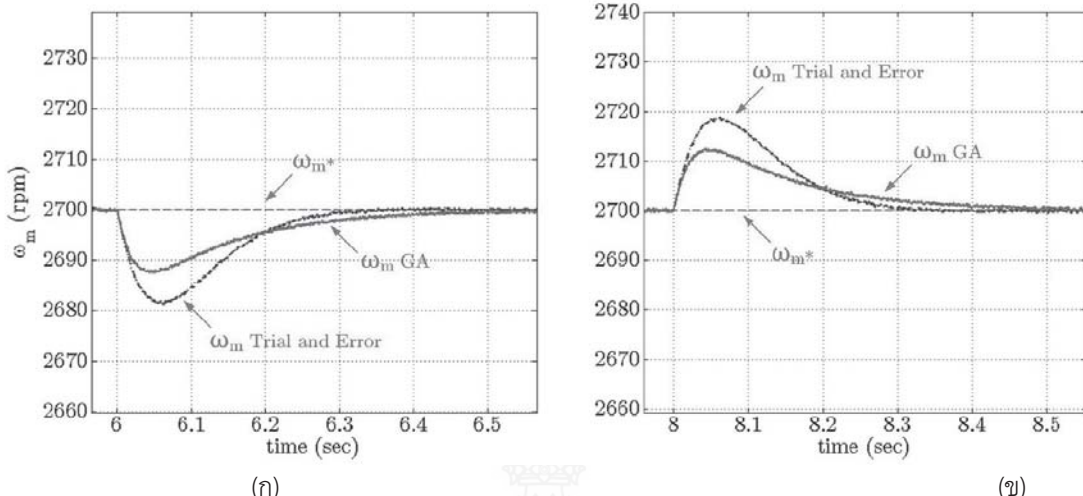


(ก)



(ข)

รูปที่ 8 รูปขยายผลการจำลองการตออบสนองของความเร็ว robust ของมอเตอร์เมื่อมีการเปลี่ยนแปลงความเร็ว robust เบรียบเทียบระหว่างวิธีที่นำเสนอ กับวิธีแบบ TE ที่ช่วงความเร็ว robust สูง (ก) เมื่อมีการปรับลดความเร็ว robust ลง 1 วินาทีที่ 2 (ข) เมื่อมีการปรับเพิ่มความเร็ว robust ขึ้น ณ วินาทีที่ 4



รูปที่ 9 รูปขยายผลการทดลองการตอบสนองของความเร็ว rotor ตามการเปลี่ยนแปลงโหลดแรงบิดเบรีแบบเทียบระหว่างวิธีที่นำเสนอกับวิธีแบบ TE ที่ช่วงความเร็ว rotor สูง (ก) เมื่อมีการปรับเพิ่มโหลดแรงบิดขึ้นในวินาทีที่ 6 (ข) เมื่อมีการปรับลดโหลดแรงบิดลง ณ วินาทีที่ 8

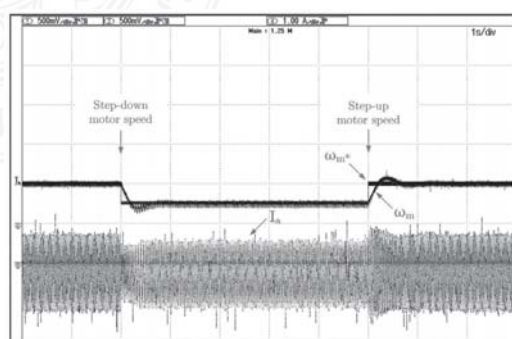
3.2.1 ผลการทดลองที่ช่วงความเร็ว rotor ต่ำ

รูปที่ 10 และรูปที่ 11 แสดงผลของวิธีแบบ TE และวิธีที่นำเสนอนี้ เมื่อปรับความเร็ว rotor ในขณะที่ยังคงโหลดแรงบิดไว้ที่ 0.1 N.m ตามลำดับ โดยปรับลดความเร็ว rotor ลงจาก 600 ไปที่ 300 rpm หลังจากนั้นทำการปรับเพิ่มความเร็ว rotor ขึ้นจาก 300 ไปที่ 600 rpm

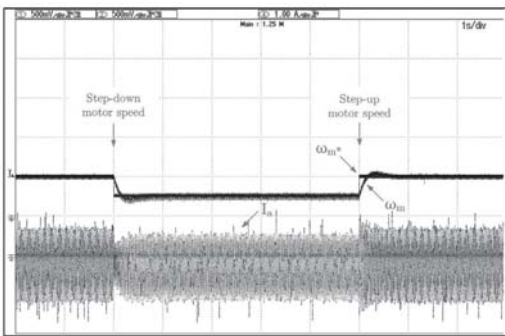
นอกจากนี้ รูปที่ 12 และรูปที่ 13 แสดงผลการทดลองเมื่อทำการปรับโหลดแรงบิดมอเตอร์ ในขณะที่ยังคงความเร็ว rotor ไว้ที่ 600 rpm ของวิธีแบบ TE และวิธีที่นำเสนอด้วยตามลำดับ โดยทำการปรับเพิ่มโหลดแรงบิดมอเตอร์ขึ้นจาก 0.1 N.m ไปที่ 0.3 N.m หลังจากนั้นทำการปรับลดโหลดแรงบิดมอเตอร์กลับไปยังขนาดเดิมที่ 0.1 N.m

3.2.2 ผลการทดลองที่ช่วงความเร็ว rotor สูง

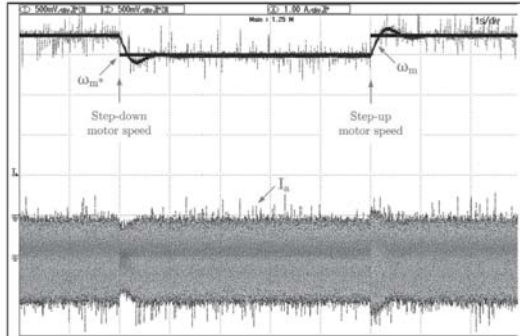
รูปที่ 14 และรูปที่ 15 แสดงผลของวิธีแบบ TE และวิธีที่นำเสนอนี้ เมื่อปรับความเร็ว rotor ในขณะที่ยังคงโหลดแรงบิดไว้ที่ 0.1 N.m ตามลำดับ โดยปรับลดความเร็ว rotor ลงจาก 2700 ไปที่ 2400 rpm หลังจากนั้นทำการปรับเพิ่มความเร็ว rotor ขึ้นจาก 2400 ไปที่ 2700 rpm



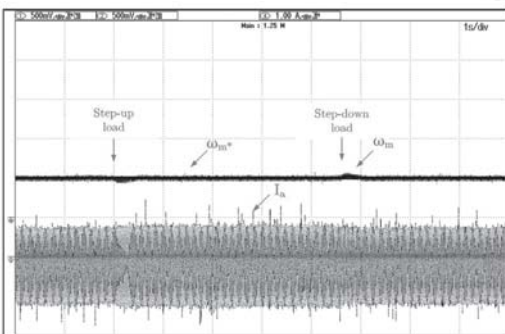
รูปที่ 10 ผลการทดลองการตอบสนองของความเร็ว rotor ตามการเปลี่ยนแปลงกระแสไฟฟ้าเฟล A เมื่อมีการเปลี่ยนแปลงความเร็ว rotor ของวิธีแบบ TE ที่ช่วงความเร็ว rotor ต่ำ



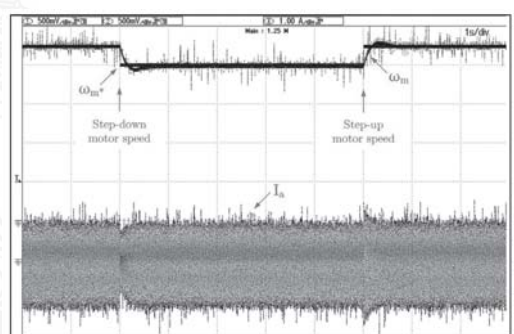
รูปที่ 11 ผลการทดลองการตอบสนองของความเร็ว รอบมอเตอร์และกระแสไฟฟ้าเฟล A เมื่อมี การเปลี่ยนแปลงความเร็วรอบมอเตอร์ของ วิธีที่นำเสนอนี้ที่ช่วงความเร็วรอบต่ำ



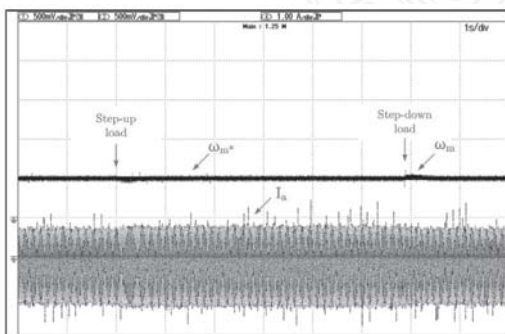
รูปที่ 14 ผลการทดลองการตอบสนองของความเร็ว รอบมอเตอร์และกระแสไฟฟ้าเฟล A เมื่อมี การเปลี่ยนแปลงความเร็วรอบมอเตอร์โดย ใช้วิธีแบบ TE ที่ช่วงความเร็วรอบสูง



รูปที่ 12 ผลการทดลองการตอบสนองของความเร็ว รอบมอเตอร์และกระแสไฟฟ้าเฟล A เมื่อมี การเปลี่ยนแปลงโหลดแรงบิดของวิธีแบบ TE ที่ช่วงความเร็วรอบต่ำ

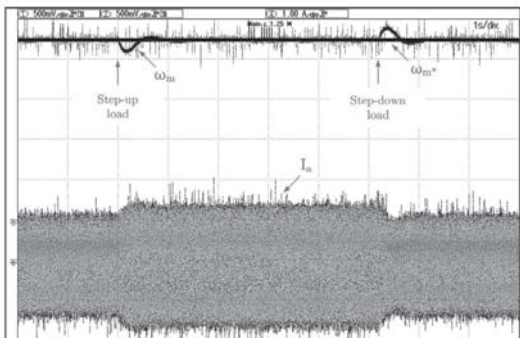


รูปที่ 15 ผลการทดลองการตอบสนองของความเร็ว รอบมอเตอร์และกระแสไฟฟ้าเฟล A เมื่อมี การเปลี่ยนแปลงความเร็วรอบมอเตอร์ของ วิธีที่นำเสนอนี้ที่ช่วงความเร็วรอบสูง

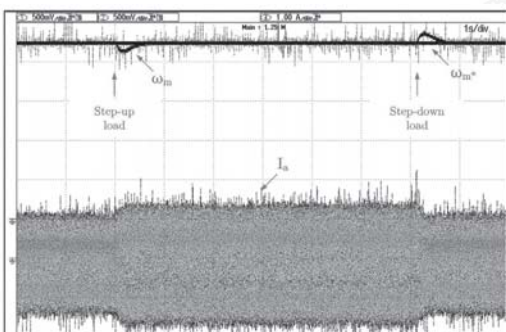


รูปที่ 13 ผลการทดลองการตอบสนองของความเร็ว รอบมอเตอร์และกระแสไฟฟ้าเฟล A เมื่อมี การเปลี่ยนแปลงโหลดแรงบิดของวิธีที่นำ เสนอนี้ที่ช่วงความเร็วรอบต่ำ

นอกจากนี้ รูปที่ 16 และรูปที่ 17 แสดงผล การทดลองเมื่อทำการปรับโหลดแรงบิดมอเตอร์ ในขณะที่ยังคงความเร็วรอบไว้ที่ 2700 rpm ของวิธี แบบ TE และวิธีที่นำเสนอตามลำดับ โดยทำการ ปรับเพิ่มโหลดแรงบิดมอเตอร์ขึ้นจาก 0.1 N.m ไป ที่ 0.3 N.m หลังจากนั้นทำการปรับลดโหลดแรงบิด มอเตอร์กลับไปยังขนาดเดิมที่ 0.1 N.m



รูปที่ 16 ผลการทดลองของการตอบสนองของความเร็วรอบมอเตอร์และกระแสไฟฟ้าเฟล A เมื่อมีการเปลี่ยนแปลงโหลดแรงบิดโดยใช้วิธีแบบ TE ที่ช่วงความเร็วรอบสูง



รูปที่ 17 ผลการทดลองของการตอบสนองของความเร็วรอบมอเตอร์และกระแสไฟฟ้าเฟล A เมื่อมีการเปลี่ยนแปลงโหลดแรงบิดของวิธีที่นำเสนอด้วยความเร็วรอบสูง

จากรูปที่ 10 ถึงรูปที่ 17 จะเห็นได้ว่า สมรรถนะการควบคุมความเร็ว (speed control performance) ของ PMSM มีการตอบสนองที่ดีขึ้นทั้งช่วงความเร็วรอบต่ำและสูง เมื่อมีใช้วิธีการนำเสนอในการหาค่าพารามิเตอร์ของ PI controller ในแต่ละช่วง ค่าพุ่งต่ำ (Undershoot) และค่าพุ่งเกิน (Overshoot) ที่ลดลง รวมทั้งเวลาการตอบสนองที่ใช้ในการเข้าสู่ค่าคงที่ (Settling time) ที่เร็วขึ้น

4. สสรุป

งานวิจัยนี้จึงเสนอ GA เพื่อหาค่าพารามิเตอร์ของ PI Controller แบบอัตโนมัติสำหรับการขับเคลื่อน PMSM ซึ่งจากการทดลองจำลองและผลการทดลองเมื่อปรับความเร็วรอบมอเตอร์ ในขณะที่โหลดแรงบิดคงที่ พบร่วมที่ความเร็วรอบของมอเตอร์ที่ช่วงการตอบสนองชั่วครู่ (Transient response) ค่าพุ่งต่ำ (Undershoot) และค่าพุ่งเกิน (Overshoot) ของวิธีที่นำเสนอมีค่าน้อยกว่าวิธีแบบ TE ประมาณ 2-5% นอกจากนี้ กรณีที่เมื่อทำปรับโหลดแรงบิดมอเตอร์ ในขณะที่ความเร็วรอบของมอเตอร์คงที่ จะเห็นได้ว่าความเร็วรอบของวิธีที่นำเสนอสามารถกลับเข้าสู่ความเร็วรอบอ้างอิงได้เร็วกว่าวิธีแบบ TE ประมาณ 0.5-1 วินาที ซึ่งผลการทดลองทั้งสองกรณี สามารถยืนยันประสิทธิภาพของวิธีที่นำเสนอได้

5. กิตติกรรมประกาศ

งานวิจัยนี้ได้รับการสนับสนุนจากโครงการส่งเสริมการวิจัยในอุดมศึกษาและการพัฒนามหาวิทยาลัยวิจัยแห่งชาติ ของสำนักงานคณะกรรมการการอุดมศึกษา

6. เอกสารอ้างอิง

- Rashid, M.H. (2001). Power Electronics Handbook, Canada: Academic Press.
- Uddin, M.N. and Rebeiro, R.S. (2011), Online Efficiency Optimization of a Fuzzy-Logic-Controller-Based IPMSM Drive, IEEE Transactions on Industry Applications, Vol. 47, No. 2, pp. 1043-1050.

- Rebeiro, R.S. and Uddin, M.N. (2012). Performance Analysis of an FLC-Based Online Adaptation of Both Hysteresis and PI Controllers for IPMSM Drive, *IEEE Transactions on Industry Applications*, Vol. 48, No. 1, pp. 12-19.
- Meshram, P.M. and Kanojiya, R.G. (2012). Tuning of PID controller using Ziegler-Nichols method for speed control of DC motor, International Conference on Advances in Engineering, Science and Management, 30-31 March 2012, Tamil Nadu, India, pp. 117-122.
- Chottiyanont, P., Konghirun, M. and Lenwari, W. (2014). The use of genetic algorithms for speed and current controller designs for IPMSM drive, 17th International Conference on Electrical Machines and Systems (ICEMS), 22-25 October 2014, Hangzhou, China, pp. 2930-2935.
- Michalewicz, Z. (1996). *Genetic Algorithms + Data Structures = Evolution Programs*, Springer Press, Heidelberg, pp. 57-287.
- Haupt, R.L. and Haupt, S.E. (2004). *Practical Genetic Algorithms*, 2nd ed., John Wiley & Sons Press, United States of America, pp. 27-65.